



## 알루미늄 판재의 Tail Gate Hinge 부품 블랭킹 공정에서 버어 감소 및 융착 방지를 위한 급속 Air Cooling 금형기술

박동환<sup>a\*</sup>, 이태길<sup>b</sup>, 전하준<sup>b</sup>

### Rapid Air Cooling Mold Technology for Reducing Burrs and Preventing Fusion in the Blanking Process of Tail Gate Hinge Parts of Aluminum Alloy Sheets

Dong-Hwan Park<sup>a\*</sup>, Tae-Gil Lee<sup>b</sup>, Ha-Jun Jeon<sup>b</sup><sup>a</sup> Gyeongbuk Hybrid Technology Institute<sup>b</sup> R&D Center, Samsungtech Co., Ltd.

#### ARTICLE INFO

##### Article history:

Received	3	October	2022
Revised	18	December	2022
Accepted	31	January	2023

##### Keywords:

Tail gate hinge parts  
Electric vehicles  
Rapid air cooling  
Shearing  
Aluminum alloy sheets

#### ABSTRACT

Aluminum alloy is different from high strength steel, which is a hard material. Cracks owing to insufficient elongation in the press forming process and shear stress repeatedly applied in the shear process cause aluminum particles fused to the material surface to fall. To eliminate these, a large waste of manufacturing time occurs due to additional processing operations. We developed a rapid air cooling shear mold with a vortex tube that can prevent fusing of aluminum material at the punch and die edges of the upper and lower molds. The goal was to solve the chronic burr problem by minimizing the thermal occurrence generated during shearing. In the blanking mold of Tail Gate Hinge parts, the temperature inside the mold increases owing to the heat generated during continuous press production. Cooling is possible in an actual mold experiment by applying a rapid air cooling system using a vortex tube.

## 1. 서론

세계 각국 정부의 자동차 연비효율 및 배기가스 규제강화에 따라 완성차 기업은 차량 경량화 방안으로 기존의 철강 소재를 알루미늄, 마그네슘, 엔지니어링 플라스틱, 섬유강화 복합재 등의 경량 소재로 대체하는 방법을 통해 부품의 차체 중량 감소뿐만 아니라 최적 설계 및 부품통합을 통하여 경량화 효과를 극대화하고 있다. 자동차를 경량화하는 방법은 대략 3가지로 구분할 수 있는데, 자동차의 차체 구조를 개선하여 차체를 최적화하고 부품을 모듈화하는 방법, 현재 사용하고 있는 재료를 고장력 강판, 탄소 복합재, 알루미늄 등의 경량 소재로 대체하여 강도를 높이거나 중량을 줄이는

방법<sup>[1]</sup>, 그리고 제조공정을 융합한 공법으로 변경하는 방식이 있다<sup>[2-4]</sup>. 이 중에서 철강 소재 대신 알루미늄 경량 소재를 사용하여 위험과 부품비용 상승 등을 해결할 필요성이 증대되고 있다.

알루미늄 연질재료가 가지고 있는 특성, 인장강도, 항복점, 연신율, 비중 등에 따라 품질이 달라지며 자동차 차체용으로 많이 사용되는 비열처리 합금 5000 계열과 열처리 합금 6000 계열은 고온 상태에서 버어(burr), 거스러미, 칩 등이 자주 발생된다. Tail gate hinge 부품은 tail gate outer와 tail gate inner 부품을 지지할 수 있도록 장착면의 조립성과 위치정도가 정밀해야 한다. 또한, 차체 뒤쪽에 장착되어 차량 주행 시에 전 후면과 좌우 측면, 노면에서 올라오는 외부 공기저항에 흔들림이 없어야 하고 후방 충돌 시에

\* Corresponding author. Tel.: +82-54-330-8052

E-mail address: pdh@ghi.re.kr (Dong-Hwan Park).

외부로부터 충격을 흡수할 수 있도록 안전성과 편의성을 갖추어야 하는 핵심부품으로 프레스가공 후 전단면의 거스러미와 버어( burr)가 없어야 하며 치수정밀도 변화가 없어야 한다.

연질의 알루미늄 강판을 전단할 경우 절단 날의 인선부에 미소의 알루미늄 입자가 응착된다. 연속작업이 지속되면 전단 열과 전단 압력 등의 영향으로 과도한 버어가 발생되면서 생산속도 저하와 버어를 제거하기 위한 추가작업이 필요하며 작업시간이 소요된다. 즉, 경질 소재인 고장력 강판 소재와 달리 연질의 알루미늄 판재는 프레스 전단과정에서 크랙 발생과 반복적으로 부과되는 전단 응력에 의해 소재 표면에 응착된 알루미늄 입자가 탈락되어 금형의 펀치와 다이 인선부에 용착되면서 절단면에 커다란 버어(burr)가 발생된다. 이를 제거하기 위해 별도의 추가공정 작업으로 인해 제조시간 낭비를 초래하고 있다<sup>[5-8]</sup>.

Kim et al.<sup>[9]</sup>은 알루미늄 합금에서 온도가 상승하면 연신율이 증가한다. 연신율은 절단 전까지 소재의 최대 변형률로 절단에서 버어의 크기에 영향을 미친다. 높은 절삭속도로 인한 절삭열은 알루미늄의 연신율을 높여 버어 발생을 촉진한다. 절삭속도가 높은 밀링에서 버어가 크게 발생하고 낮은 전단에서는 버어가 거의 발생하지 않는다. 밀링에서 절삭유는 냉각 작용과 칩과 공구 사이 윤활 작용으로 버어를 억제한다. 따라서 알루미늄 합금을 절단할 때 버어를 줄이기 위해서 절삭유를 공급해 냉각과 윤활을 원활하게 하고, 절삭유를 공급할 수 없을 때는 절삭속도를 낮추는 것이 적합하다고 제시하였다. Moghadam et al.<sup>[10]</sup>은 블랭킹 공정에서 펀치와 다이, 피가공 소재의 온도 분포를 보여주고, 특히 1행정 가공에서 전단 표면의 피가공 소재 온도 범위는 약 0.1초 후에 국지적으로 135-150°C 정도로 나타난다. 전단 표면의 펀치 온도는 행정수가 증가할수록 온도가 증가함을 제시하였다.

본 연구는 펀치와 다이 날 부위에 압축공기를 이용한 vortex tube의 급속 air cooling 장치<sup>[11]</sup>를 취부하여 펀치와 다이를 급랭시켜 전단 작업 시에 발생하는 전단 열을 줄이고 피가공재로부터 탈락한 알루미늄 입자의 응착을 방지하여 과도한 버어 형성을 사전에 차단할 수 있다. 그러므로 상하 금형의 펀치와 다이 인선부에 알루미늄 소재의 응착을 방지할 수 있는 전단 금형을 개발하여 전단 작업 시 발생하는 전단 열을 줄이고 고질적으로 발생되고 있는 버어 문제를 해결하고자 하였다.

## 2. 소재 물성 시험

Tail gate hinge 부품에 대한 성형해석을 위하여 인장시험을 수행하여 기계적 성질을 확인하였다. 시험에 사용된 소재는 Al6451-T4로 두께는 2 mm이며, 시편은 Fig. 2와 같이 너비 28 mm, 표점거리 50 mm로 와이어 커팅 가공하여 제작하였다. 기계



(a) Tail gate module



(b) Tail gate hinge product

Fig. 1 Tail gate hinge parts

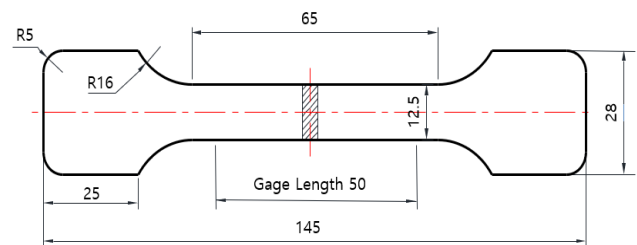







Fig. 2 Test specimen size for high-temperature tensile test

적 성질을 파악하기 위해 상온(20°C)과 고온 인장시험을 실시하였는데, 시편은 압연 방향, 45도 방향, 90도 방향으로 인장 시험편을 제작하였다. Table 1은 Al6451-T4 소재의 고온 인장시험 결과를 보여준다. Al6451-T4 소재의 고온 인장시험에서 온도가 상승할수록 인장강도는 감소하며, 연신율은 100°C까지 증가하다가 그 이후에는 감소함을 알 수 있다. 즉, 압연방향에서 온도가 높을수록 인장강도가 떨어지는 반면에 연신율은 향상되고 상온으로 갈수록 인장강도는 높은 반면에 연신율은 낮아짐을 알 수 있다. 특히, 고온 150°C 이상에서는 인장강도와 연신율이 낮아짐을 알 수 있는데, 이것은 알루미늄 소재 특성상 T4 용체화 후 인공시효가 아닌 자연시효 처리된 것으로 고온의 특성에 따라 인장강도와 연신율이 차이가 다르게 나타남을 알 수 있다.

**Table 1 High-temperature tensile test results of Al6451-T4**

Temperature (°C)	Direction (°)	Yield stress (MPa)	Tensile stress (MPa)	Elongation (%)
Room (20)	0°	149	258	26.3
	45°	148	256	29.3
	90°	152	262	27.1
	mean	149.7	258.7	27.5
50	0°	145	249	27.2
	45°	145	247	30.4
	90°	151	255	27.6
	mean	147	250.3	28.4
100	0°	143	232	32.5
	45°	142	230	38.4
	90°	145	234	37.2
	mean	143.3	232	36
150	0°	155	220	27.9
	45°	152	215	34.5
	90°	157	222	27.1
	mean	154.7	219	29.8
200	0°	170	203	20.5
	45°	170	202	19.8
	90°	169	201	18.0
	mean	169.7	202	19.4

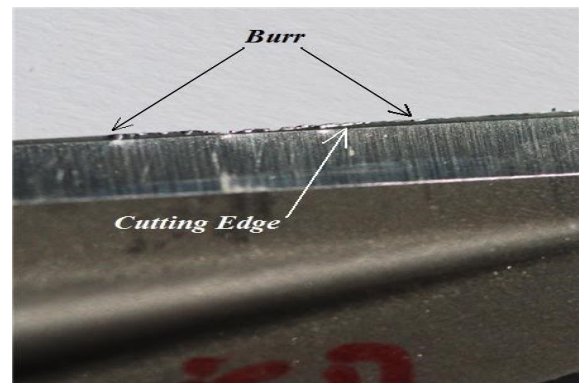
**Table 2 Process sequence of tail gate hinge die**

Step	Process name	Illustration
1	Blanking	
2	Forming	
3	Restriking & Flanging	
4	Trimming & Cam Piercing	
5	Piercing (final product)	

### 3. 금형 설계 및 제작

Tail gate hinge 금형은 1공정 blanking, 2공정 forming, 3공정 restriking & flanging, 4공정 trimming & cam piercing, 5공정 piercing 등 총 5공정으로 설계하였다. Table 2는 tail gate hinge 금형의 공정 순서를 보여준다. 1공정 블랭킹 공정은 tail gate hinge 제품의 블랭크(blank)를 전단하는 공정으로 vortex tube의 급속 air cooling 시스템을 블랭킹 공정에 적용하여 제작하였다. 전단면에 발생하는 버어 용착을 방지하기 위해 상형 펀치와 하형 다이에 급속 냉각용 에어 구멍을 뚫어 냉각시스템을 금형 내에 내장하여 프레스 성형 시에 공기압을 주입하여 펀치와 다이를 냉각할 수 있도록 구성하였다. 펀치와 다이 사이의 클리어런스는 소재 두께 2 mm의 편측 12%를 적용하였다. 2공정 forming 공정은 tail gate hinge 제품의 형상을 성형하는 공정이며, 3공정 restriking & flanging 공정은 2공정 forming 공정의 제품 형상을 정형하는 공정이다. 4공정 trimming & cam piercing 공정은 제품의 외곽을 트림하고 측면 구멍을 피어싱 하는 공정이며, 5공정 piercing 공정은 제품의 구멍을 피어싱 하는 최종 공정이다.

Fig. 3은 tail gate hinge 부품의 버어(burr) 발생 부위를 보여준다. 알루미늄 소재의 경우에 반복적인 프레스 전단 작업이 계속되면 금형 펀치와 다이 인선부에 버어에 의한 소재의 용착이 발생한다. Fig. 4는 vortex tube 작동 원리 및 제품을 보여준다. Vortex tube는 압축공기를 고속으로 회전시켜 와류 현상에 의해 냉기와 열기를

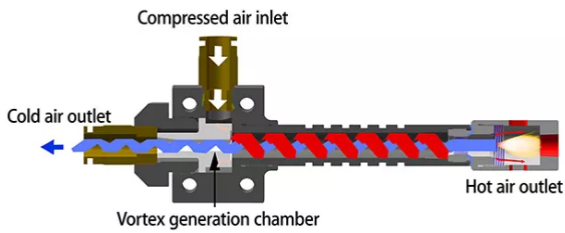


**Fig. 3 Burr occurrence part of tail gate hinge**

분리하고 분리과정에서 냉기만 따로 획득하여 냉매로 사용할 수 있다. 블랭킹 금형의 상형과 하형 홀더에 외부 온도 모니터 장치를 취부하여 전단 가공 시에 실시간으로 펀치와 다이의 냉각온도를 표시하고 실제 온도를 측정할 수 있도록 제작하였다.

Fig. 5는 tail gate hinge 제품의 급속 air cooling 성형 금형의 구조를 보여준다. 상형 펀치와 하형 다이에 급속 냉각용 에어 구멍을 뚫어 냉각시스템을 금형 내에 내장하여 프레스 성형 시에 공기압을 주입하여 펀치와 다이를 냉각하여 소재의 용착을 방지할 수 있는 전단 금형을 설계하였다. 즉, 펀치와 다이 날 부위에 압축공기를 이용한 vortex tube의 급속 air cooling 장치를 삽입하여 펀치





(a) Working principle of vortex tube



(b) Vortex tube product

Fig. 4 Vortex tube

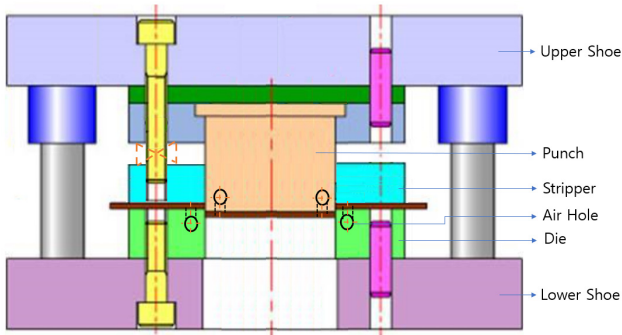


Fig. 5 Rapid air cooling molding die of tail gate hinge

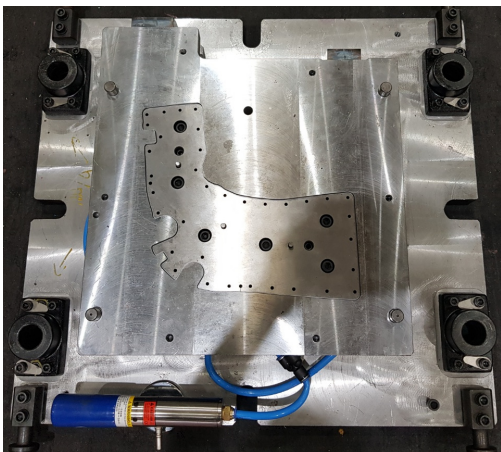


Fig. 6 Upper punch of tail gate hinge

와 다이에 발생하는 열을 급랭시켜 전단 작업 시에 발생하는 전단 열을 줄이고 피가공재료로부터 탈락한 알루미늄 입자의 응착을 방지하여 과다한 버어 발생을 사전에 차단할 수 있도록 제작하였다.

Fig. 6은 tail gate hinge 제품의 상형 금형을 보여주고, Fig. 7은 하형 금형을 보여준다. 급속 air cooling 시스템을 적용한 블랭킹 금형에서 상형 금형의 상홀더(upper shoe)에 부착된 vortex tube와

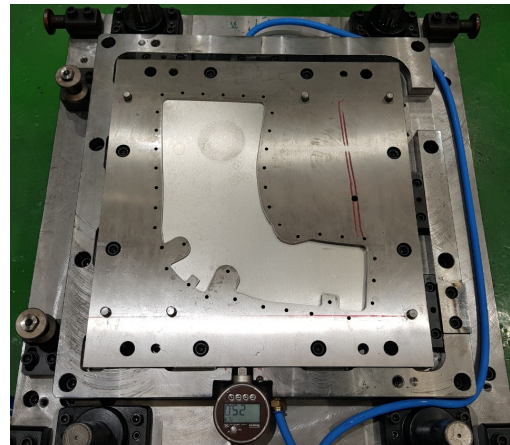


Fig. 7 Lower die of tail gate hinge

하형 금형의 하홀더(lower shoe)에 부착된 vortex tube를 나타낸다. 급속 air cooling 블랭킹 금형에서 펀치와 다이의 소재는 냉간 합금공구강인 STD11을 사용하였다. 블랭킹 금형의 상형 펀치와 하형 다이에 급속 냉각용 에어 구멍을 뚫어 프레스 성형 시에 공기 압을 주입하여 펀치와 다이를 냉각할 수 있도록 제작하였다. 즉, 펀치와 다이 날 부위에 압축공기와 연결된 vortex tube를 삽입하여 펀치와 다이에 발생된 열을 배출하고 차가운 공기를 주입하도록 하였다. 전단 작업 시에 발생하는 전단 열을 줄이고, 피가공재료로부터 탈락한 알루미늄 입자의 응착을 방지하여 과다한 버어 발생을 사전에 차단할 수 있도록 제작하였다.

#### 4. 결과 및 고찰

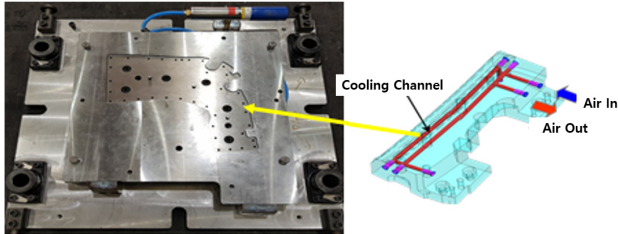
블랭킹 금형에서 전단면에 발생하는 알루미늄 칩의 응착을 방지하기 위해 상형 펀치와 하형 다이에 급속 냉각용 에어 구멍을 뚫어 vortex tube를 이용한 급속 air cooling 시스템을 적용하여 전단 작업 시에 발생된 열을 방출시키고 펀치와 다이를 냉각하도록 구성하였다. Fig. 8은 급속 air cooling 시스템을 적용한 tail gate hinge 블랭킹 금형을 보여준다. 프레스에 장착된 블랭킹 금형의



Fig. 8 Tail gate hinge die using rapid air cooling system with vortex tube

**Table 3 Temperature measurement results of blanking die after 100 strokes**

100 strokes	Upper die (°C)	Lower die (°C)
Before operation	26.5	26.2
After operation	22.9	24.8



**Fig. 9 Internal circulation structure of cooling channel in blanking mold**

상홀더와 하홀더에 vortex tube를 부착하여 전단 작업 시에 발생된 열을 방출시키고 펀치와 다이를 각각 냉각하여 금형온도를 측정하였다.

Table 3은 작업 전과 100 strokes 후 블랭킹 금형의 상형과 하형 전단 날 부의 온도 측정 결과를 보여준다. 작업 전에 블랭킹 금형의 상형과 하형 전단 날 부의 온도 측정 결과에서 상형 펀치의 전단 날부 온도는 26.5°C, 하형 다이의 전단 날부 온도는 26.2°C로 나타나지만, 100 strokes 작업 후에 상형 펀치의 전단 날부 온도는 22.9°C, 하형 다이의 전단 날부 온도는 24.8°C로 나타난다. Fig. 9는 블랭킹 금형에서 냉각채널의 내부순환 구조를 보여준다. 금형 온도는 금형 내부에 취부한 냉각 채널과 연결된 전단 날부 튜브에 순환되는 내부 온도를 나타낸다. Fig. 10은 급속 air cooling 시스템을 적용한 블랭킹 금형에서 프레스 연속작업 시에 하형 다이의 전단 날부 측정온도를 보여준다. 이러한 금형온도 측정 결과를 살펴보면, 프레스 연속작업 시에 발생하는 열을 급속 air cooling 시스템이 금형을 냉각시키는 역할을 하는 것을 알 수 있다.

Table 4는 급속 air cooling 시스템 적용 전의 버어 높이 측정



**Fig. 10 Blanking temperature measurement of lower die of tail gate hinge**

**Table 4 Burr height measurement results of blanked sheet after 100 strokes**

No.	Tolerance (mm)	Burr height before air cooling (mm)	Burr height after 100 strokes (mm)
1	±0.5	0.8	0.0198
2		0.5	0.0576
3		0.5	0.0248
4		0.7	0.0316
5		0.7	0.0114
Mean		0.64	0.029



**Fig. 11 Test equipment for burr height measurement**



**Fig. 12 Maximum burr height of blanked sheet after 100 strokes**

결과와 급속 air cooling 시스템을 적용하여 100 strokes 작업 후의 버어 높이 측정 결과를 보여준다. 급속 air cooling 시스템 적용 전의 버어 높이 측정 결과에서 평균 버어 높이가 0.64 mm로 나타나고, 급속 air cooling 시스템을 적용하여 100 strokes 작업 후의 평균 버어 높이는 0.029 mm 나타나 급속 air cooling 시스템 적용 효과가 나타나는 것으로 판단된다. Fig. 11의 버어 높이 측정기에서 버어 높이를 측정된 결과 Fig. 12에서 보는 바와 같이 최대 0.0576 mm로 나타난다. 이상의 결과에서 최대 버어 높이는 0.0576 mm로 나타남을 알 수 있으며, 버어 높이가 일반 강판보다 높지 않음을 알 수 있다. 이상의 실험 결과에서 압축공기에 의한 vortex tube의 급속 air cooling 시스템을 적용하여 금형에 발생하는 열을 냉각시켜 알루미늄 판재 전단 시 버어 발생을 줄이고 소재





Fig. 13 Final product of tail gate hinge

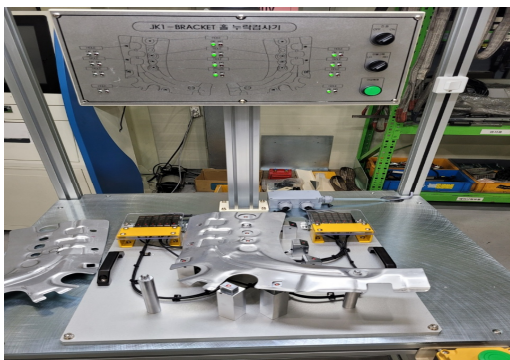


Fig. 14 Tail gate hinge product measurement by inspection jig

의 응착 방지가 가능할 것으로 판단된다. 고온 인장시험 결과를 살펴보면 온도가 상승할수록 인장강도는 감소하며, 연신율은 150°C 이후에는 조금씩 감소함을 알 수 있다. 따라서 압축공기에 의한 vortex tube의 급속 air cooling 시스템을 적용하여 금형에 발생하는 열을 냉각시켜 알루미늄 소재의 연신율이 감소하면 버어 높이가 감소한 것으로 판단된다.

Fig. 13은 tail gate hinge 최종 제품을 보여주고, Fig. 14는 검사 지그를 활용하여 tail gate hinge 제품을 측정하는 장면을 보여 준다. 알루미늄 판재 전단 시에 고온 상태에서 버어, 거스러미, 칩 등이 자주 발생되어 다이 표면에 버어, 거스러미, 칩 등이 용착되어 제품에 지대한 영향을 미치게 되어 이를 개선하기 위하여 압축공기와 연결한 vortex tube를 이용하여 제품을 100개 프레스 연속작업 시에 금형에 발생한 열을 24.8°C로 냉각시켜 버어 발생을 측정 한 결과 버어가 현저히 감소함을 알 수 있었다.

## 5. 결론

본 연구는 압축기에서 나오는 공기로 급속 air cooling 시스템을 적용하여 펀치와 다이를 급냉하여 전단 작업 시에 발생하는 전단 열을 줄이고 피가공재로부터 탈락한 알루미늄 입자의 응착을 방지하여 과도한 버어 발생을 방지할 수 있는 블랭킹 전단금형을 개발

하였다. Tail gate hinge 부품의 급속 air cooling 성형기술 적용을 위하여 소재 물성평가와 시작금형 설계 제작, 시제품 성능평가를 수행하였다. 본 연구의 결과를 요약하면 다음과 같다.

(1) Tail gate hinge 부품의 원소재인 Al6451에 대한 기계적 성질을 파악하기 위하여 고온 인장시험을 통해 응력-변형률 선도를 얻을 수 있으며, 고온 인장시험에서 온도가 상승할수록 인장강도는 감소함을 알 수 있었다.

(2) Tail gate hinge 제품 생산을 위한 블랭킹 금형에서 프레스 연속생산 작업 시에 발열에 의하여 금형 내에 온도가 상승하는데, vortex tube를 이용한 급속 air cooling 시스템을 적용하여 실제 금형 실험에서 냉각이 가능함을 확인하였다.

(3) Tail gate hinge 제품 생산을 위해 blanking, forming, restriking & flanging, trimming & cam piercing, piercing 등 총 5공정으로 설계되었으며, 블랭킹 공정에서 급속 air cooling system을 부착하여 전단 열을 줄이고 과도한 버어 형성을 차단할 수 있었다.

(4) 알루미늄 합금 판재를 적용하여 전기자동차용 tail gate hinge 부품에 대한 급속 air cooling 성형기술을 확보함으로써 프레스 생산 현장에서 연속작업이 가능함을 확인하였다.

## References

- [1] Park, D. H., Yun, J. J., Kim, K. Y., 2014, A Study on Laser Welding Application of the Cowl Cross Member for Ultra-High Strength Steel, J. Korean Soc. Manuf. Technol. Eng., 23:5 525-531, <https://doi.org/10.7735/ksmte.2014.23.5.525>.
- [2] Park, D. H., Kwon, H. H., 2016, Development of Automobile Engine Mounting Parts using Hot-cold Complex Forging Technology, Int. J. Precis. Eng. Manuf. - Green Technology, 3:2 179-184, <https://doi.org/10.1007/s40684-016-0023-5>.
- [3] Park, D. H., Han, S. C., 2015, Integration Forming Technology based on Cold Hot Forging of Clutch Jaw Parts for Farm Machinery, J. Korean Soc. Manuf. Technol. Eng., 24:5 489-495, <https://doi.org/10.7735/ksmte.2015.24.5.489>.
- [4] Park, D. H., Kwon, H. D., Kwon, H. H., 2019, Development of Cam Ring Gear Parts of Large Diameter for Truck Clutch Using Hot-Cold Complex Forging Technology of Small Bar, Int. J. Precis. Eng. Manuf., 20:5 827-836, <https://doi.org/10.1007/s12541-019-00100-5>.
- [5] Ko, D. L., Jung, D. W., Kim, J. W., Lee, K. S., 2007, A Study on the Burr Formation in Shearing with Al Alloy, J. Korean Soc. Manuf. Process Eng., 6:2 17-22.

- [6] Golovashchenko, S. F., 2006, A Study on Trimming of Aluminum Autobody Sheet and Development of a New Robust Process Eliminating Burrs and Slivers, *Int. J. Mech. Sci.*, 48:12 1384-1400, <https://doi.org/10.1016/j.ijmecsci.2006.07.007>.
- [7] Song, S. H., Choi, W. C., 2016, High-temperature Deformation Behavior of 5052 Aluminum Alloy for Hot Shearing Process, *J. Korean Soc. Manuf. Technol. Eng.*, 25:3 177-181, <https://doi.org/10.7735/ksmte.2016.25.3.177>.
- [8] Bohdal, L., Kukielka, L., Legutko, S., Patyk, R., Radchenko, A. M., 2020, Modeling and Experimental Analysis of Shear-Slitting of AA6111-T4 Aluminum Alloy Sheet, *Materials* 2020, 13:14 3175, <https://doi.org/10.3390/ma13143175>.
- [9] Kim, S. J., Mun, J. I., 2022, Effect of Machining on Hard Anodizing Surface of Aluminum, *J. Korean Soc. Manuf. Process Eng.*, 21:8 87-92, <https://doi.org/10.14775/ksmpe.2022.21.08.087>.
- [10] Moghadam, M., Villa, M., Moreau, P., Dubois, A., Dubar, L., Nielsen, C. V., Bay, N., 2020, Analysis of Lubricant Performance in Punching and Blanking, *Tribol. Int.*, 141 105949, <https://doi.org/10.1016/j.triboint.2019.105949>.
- [11] Im, S. Y., 2016, Temperature Separation Characteristics of a Vortex Tube Based on the Back Pressure of the Cold Air Exit, *Tribol. Lubr.*, 32:5 166-171, <https://doi.org/10.9725/kstle.2016.32.5.166>.



**Dong-Hwan Park**

Head Researcher, Gyeongbuk Hybrid Technology Institute.

His research interest is Metal Forming Technologies for Automobile Parts.

E-mail: pdh@ghi.re.kr



**Tae-Gil Lee**

Director in the Department of R&D Center, Samsungtech Co., Ltd.

His research interest is Sheet Metal Forming for Automobile Parts.

E-mail: ltg1119@naver.com



**Ha-Jun Jeon**

Researcher in the Department of R&D Center, Samsungtech Co., Ltd.

His research interest is Plastic Working for Automobile Parts.

E-mail: masculinjym@naver.com